

非理想磁気流体力学に関する実習

高棹 真介 (大阪大学)

ここで学ぶこと

- ▶ オーム散逸が含まれた磁気流体現象を扱う基本手順を学ぶ
 - ▶ 基礎方程式と規格化された方程式の確認
 - ▶ オーム散逸が関わる具体的な天体現象の話（磁気リコネクション）
 - ▶ 実習で使う pgen file (reconnection.cpp) の説明
 - ▶ 計算の実行と可視化の目標の説明

非理想磁気流体方程式：今回は磁気拡散

以下、cgs 単位系。オーム散逸によるの電気伝導度を σ とする。

$$\mathbf{E} = -\frac{\mathbf{v}}{c} \times \mathbf{B} + \frac{1}{\sigma} \mathbf{J} \quad (6.1)$$

だから、誘導方程式は次のようになる：

$$\frac{\partial \mathbf{B}}{\partial t} = -c \nabla \times \mathbf{E} = \nabla \times (\mathbf{v} \times \mathbf{B}) + \nabla \times \left(\frac{c}{\sigma} \mathbf{J} \right) \quad (6.2)$$

ここで $\mathbf{J} = \frac{c}{4\pi} \nabla \times \mathbf{B}$ を使うと

$$\frac{\partial \mathbf{B}}{\partial t} = \nabla \times (\mathbf{v} \times \mathbf{B}) + \nabla \times \left(\frac{c^2}{4\pi\sigma} \nabla \times \mathbf{B} \right) \quad (6.3)$$

この式の意味を見やすくするため、電気伝導度の空間変化が小さいとすると

$$\frac{\partial \mathbf{B}}{\partial t} \approx \nabla \times (\mathbf{v} \times \mathbf{B}) + \frac{c^2}{4\pi\sigma} \Delta \mathbf{B} \quad (6.4)$$

となり、有限の電気伝導度がある時、磁場の拡散項が現れる。これはもともと電流の項から現れており、電流の散逸に対応する項である。つまり、電流の散逸を通じて磁場が拡散する（電流が磁場を作ることを考えれば自然）。以下では磁気拡散係数 η を

$$\eta \equiv \frac{c^2}{4\pi\sigma} \quad (6.5)$$

として定義する。

Athena++ で規格化された誘導方程式

cgs ガウス単位系

$$\frac{\partial \mathbf{B}}{\partial t} = -c \nabla \times \mathbf{E}$$

$$\mathbf{E} = -\frac{\mathbf{v}}{c} \times \mathbf{B} + \frac{4\pi\eta}{c^2} \mathbf{J}$$

$$\mathbf{J} = \frac{c}{4\pi} \nabla \times \mathbf{B}$$

規格化されたもの

$$\frac{\partial \mathbf{B}}{\partial t} = -\nabla \times \mathbf{E}$$

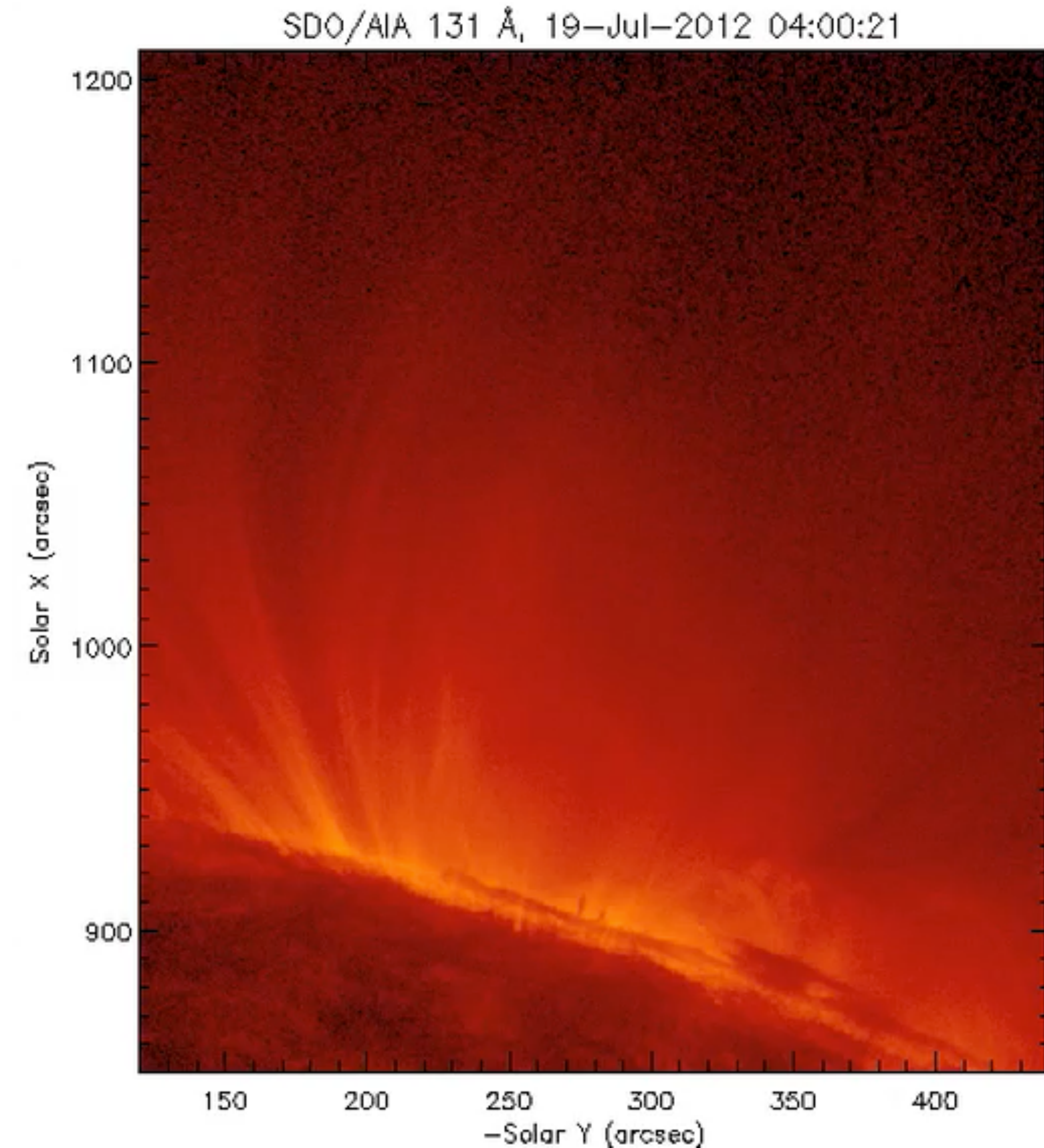
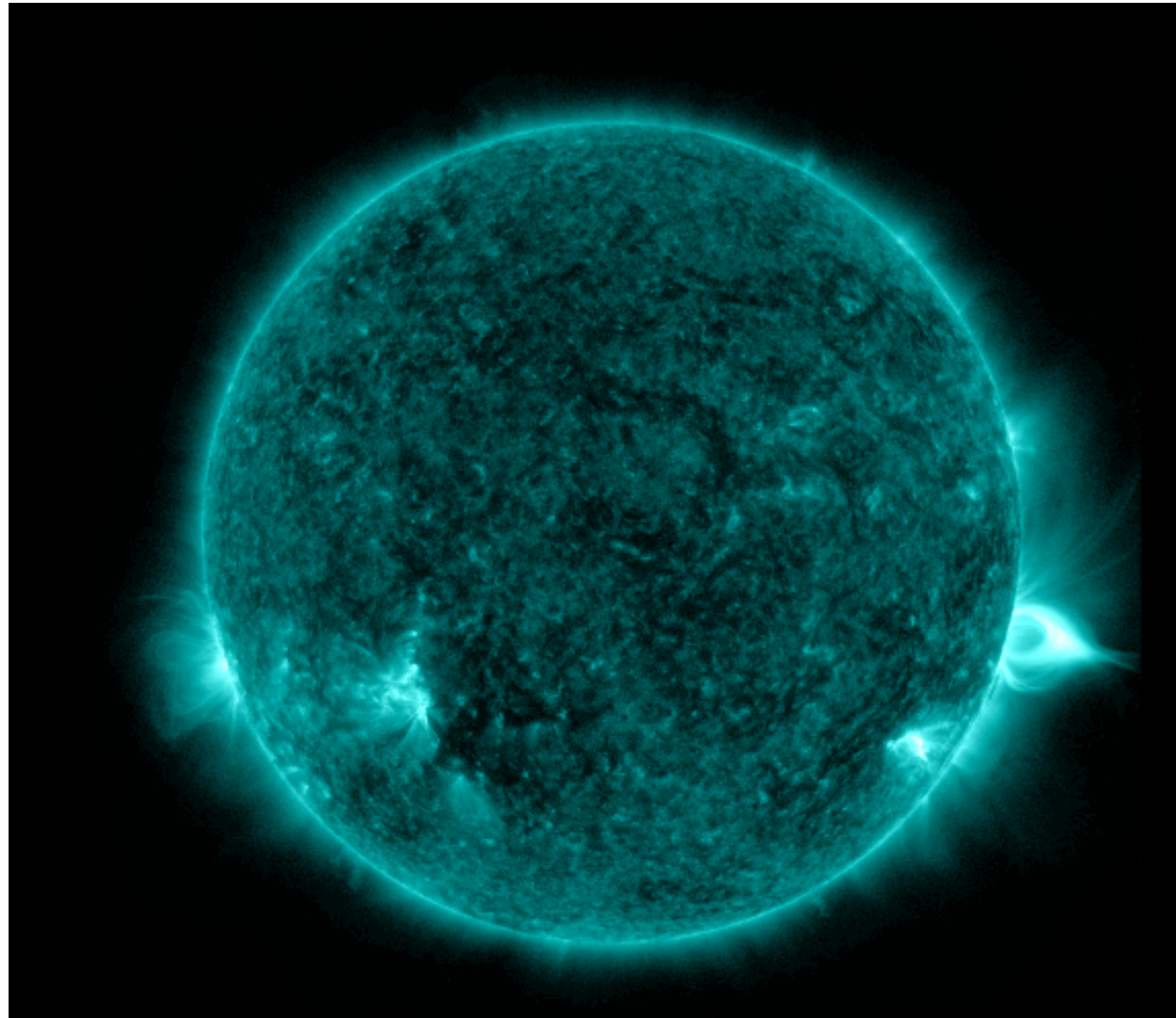
$$\mathbf{E} = -\mathbf{v} \times \mathbf{B} + \eta \mathbf{J}$$

$$\mathbf{J} = \nabla \times \mathbf{B}$$

今回はこれを与える方法を見ていきます

磁気拡散が関わる天体現象：太陽フレア

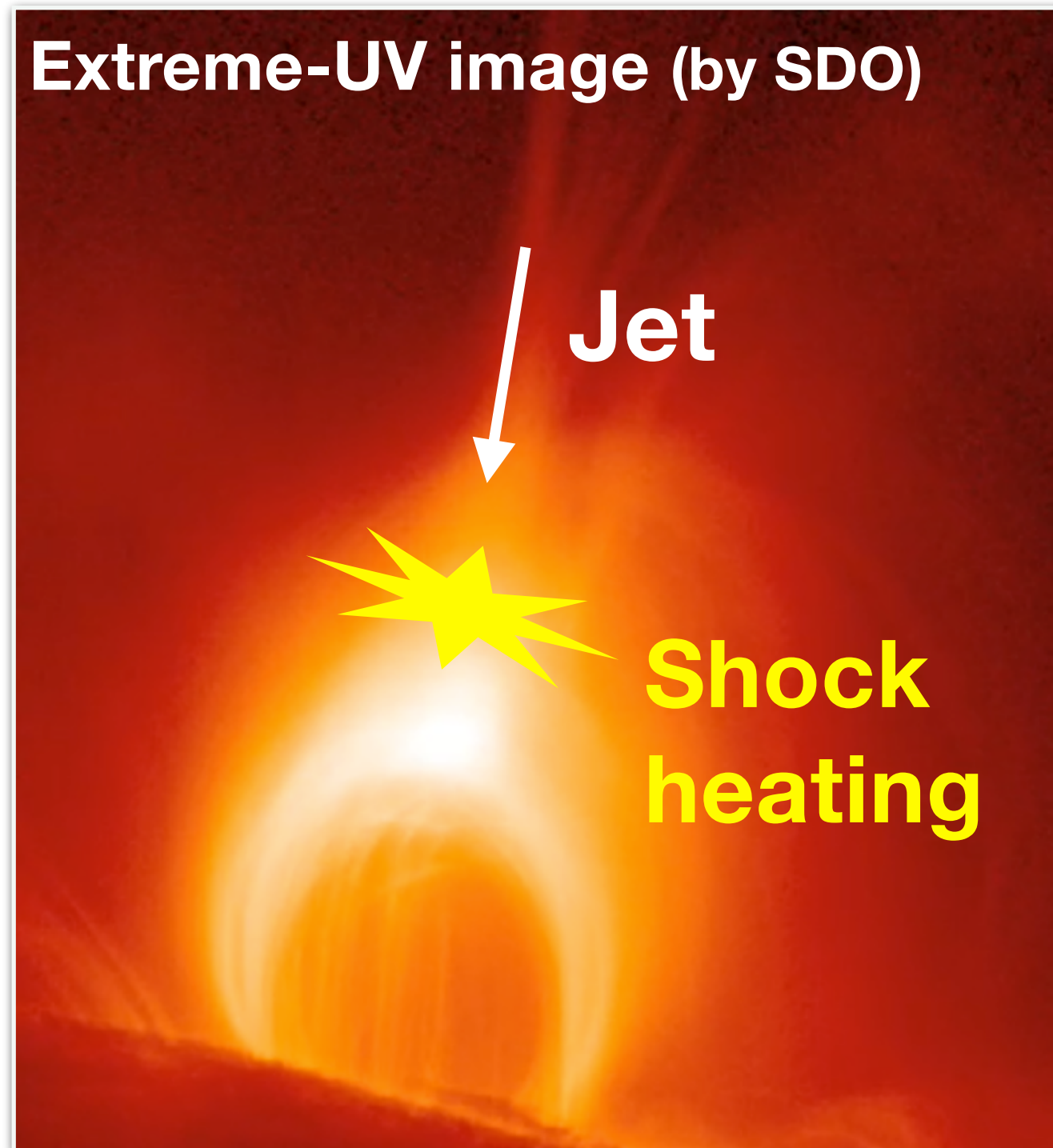
実際の太陽の画像（極端紫外線）



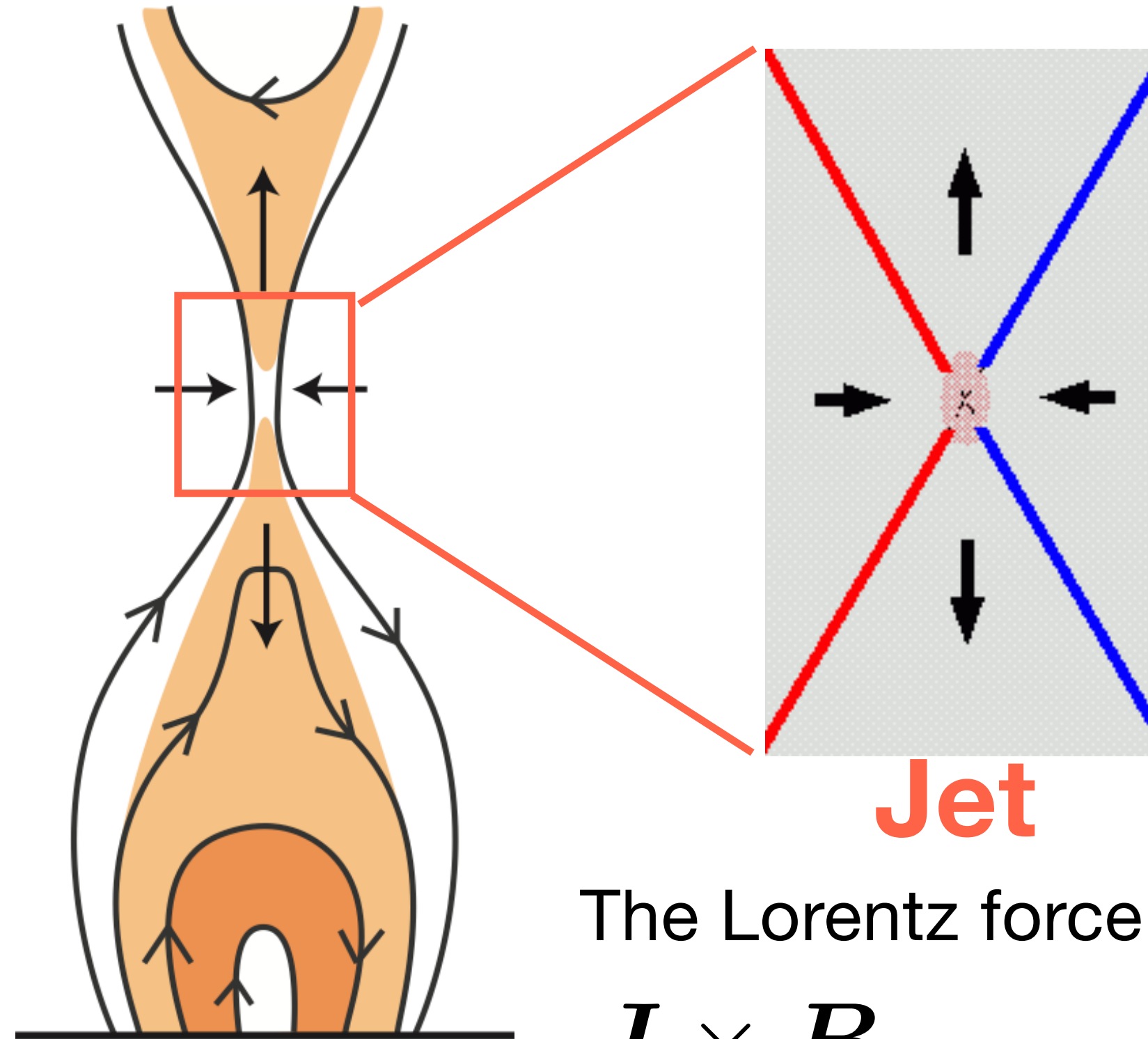
サイズ ~1-10 万 km の爆発が数時間のタイムスケールで起きる

Courtesy: Wei Liu

磁気リコネクション



Magnetic energy
 → kinetic & thermal energies



磁気拡散で
 磁場の
 反平行成分が散逸

The Lorentz force

$$\mathbf{J} \times \mathbf{B}$$

$$= -\nabla \left(\frac{B^2}{8\pi} \right) + \frac{1}{4\pi} (\mathbf{B} \cdot \nabla) \mathbf{B}$$

Magnetic pressure
 gradient

Magnetic
 tension

磁気リコネクションについてもう少し

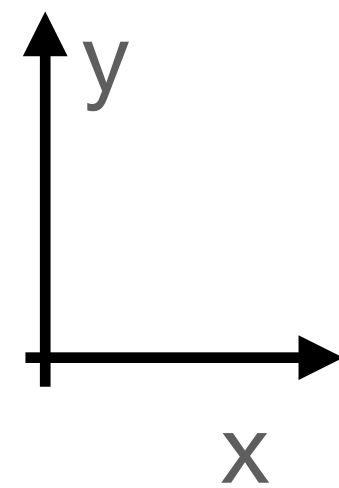
いきなり磁力線のつなぎ変えを考えるのではなく、一旦磁場をベクトル場にしてから考えるとわかりやすい

$$\frac{\partial \mathbf{B}}{\partial t} = \nabla \times (\mathbf{v} \times \mathbf{B} - \eta \mathbf{J})$$

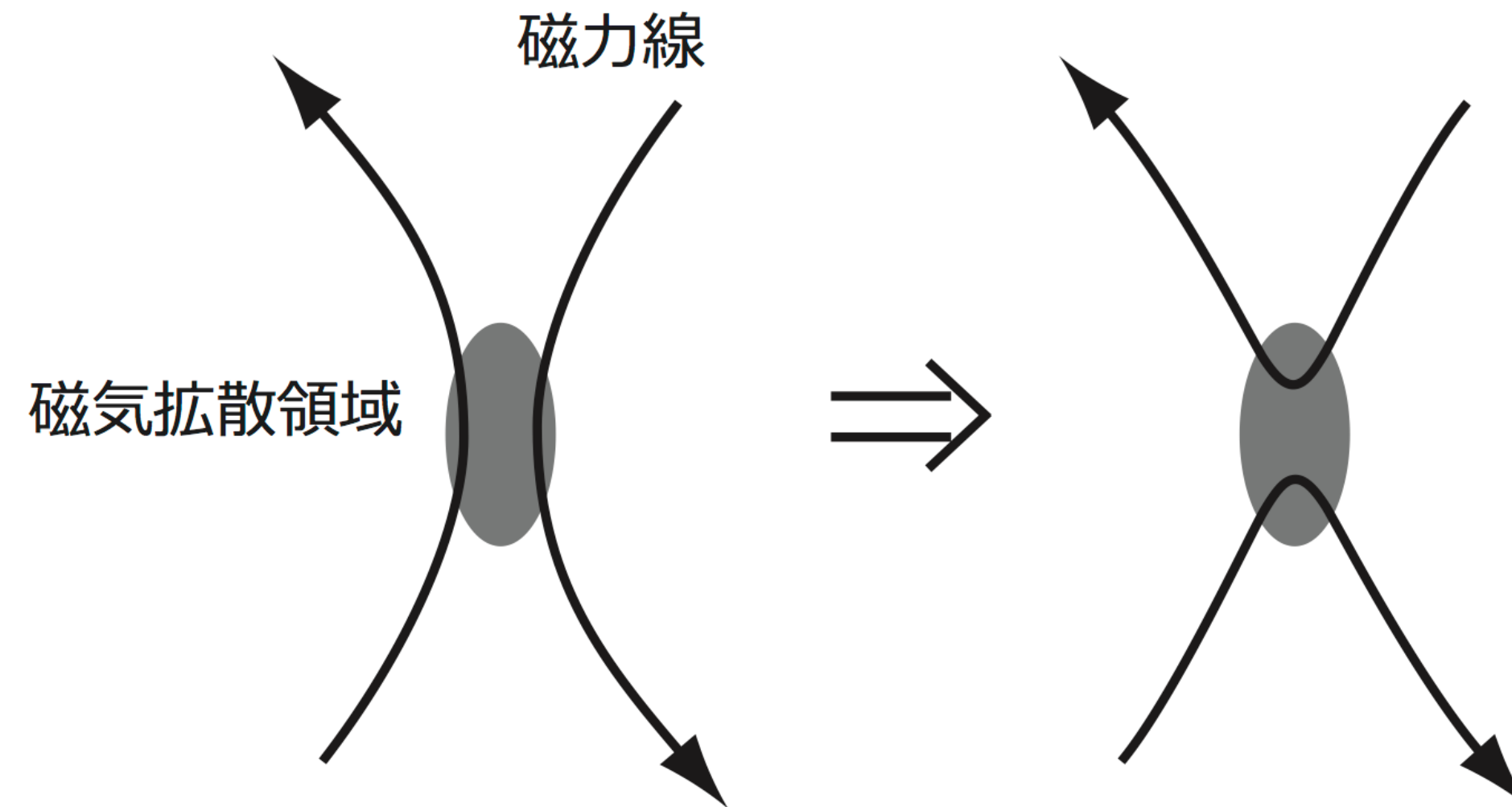
リコネクション領域では $\mathbf{v} \approx 0$

y 成分
$$\frac{\partial B_y}{\partial t} \approx \eta \frac{\partial^2 B_y}{\partial x^2}$$

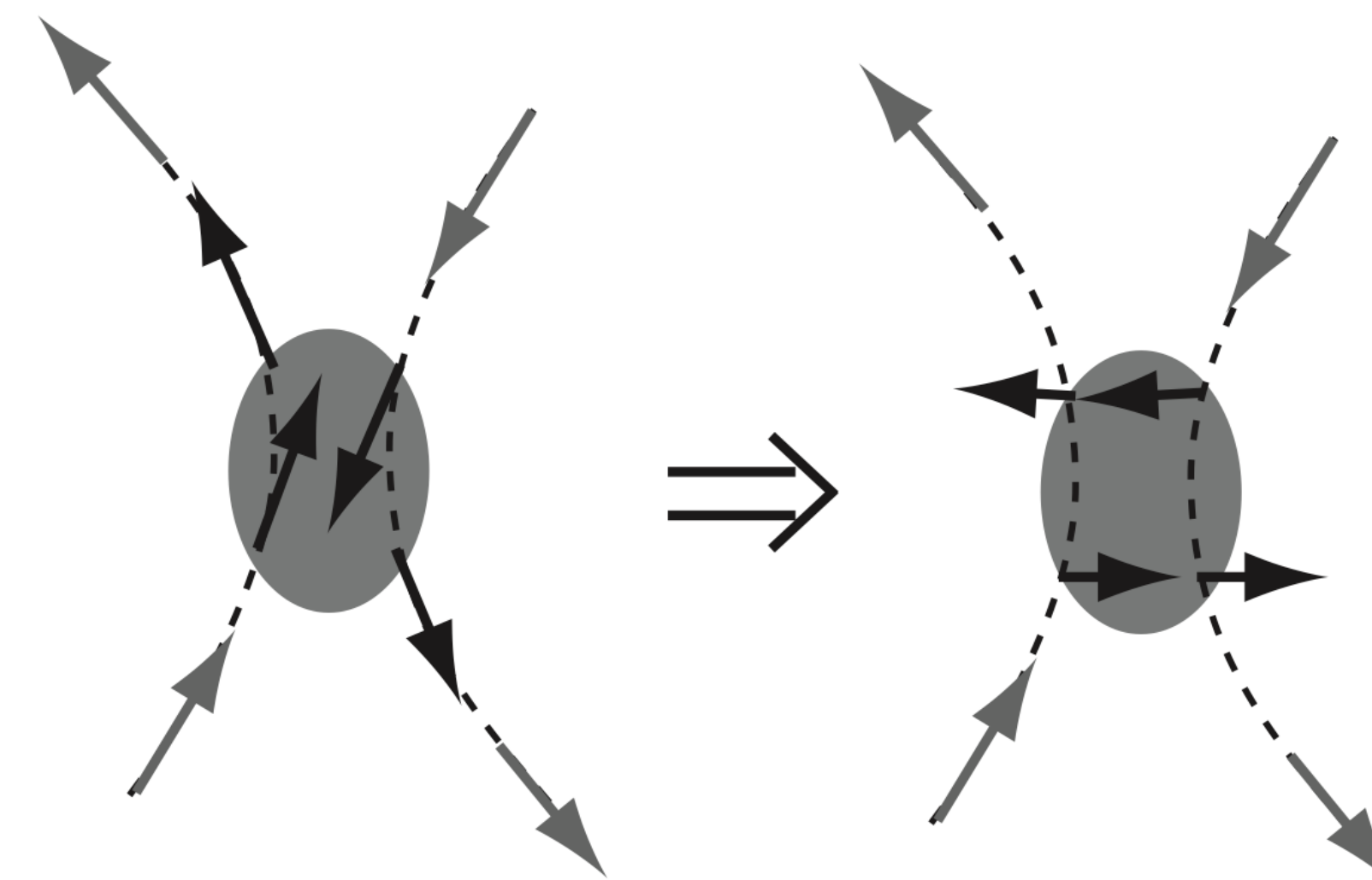
散逸するのは B_y だけ



磁力線の時間変化

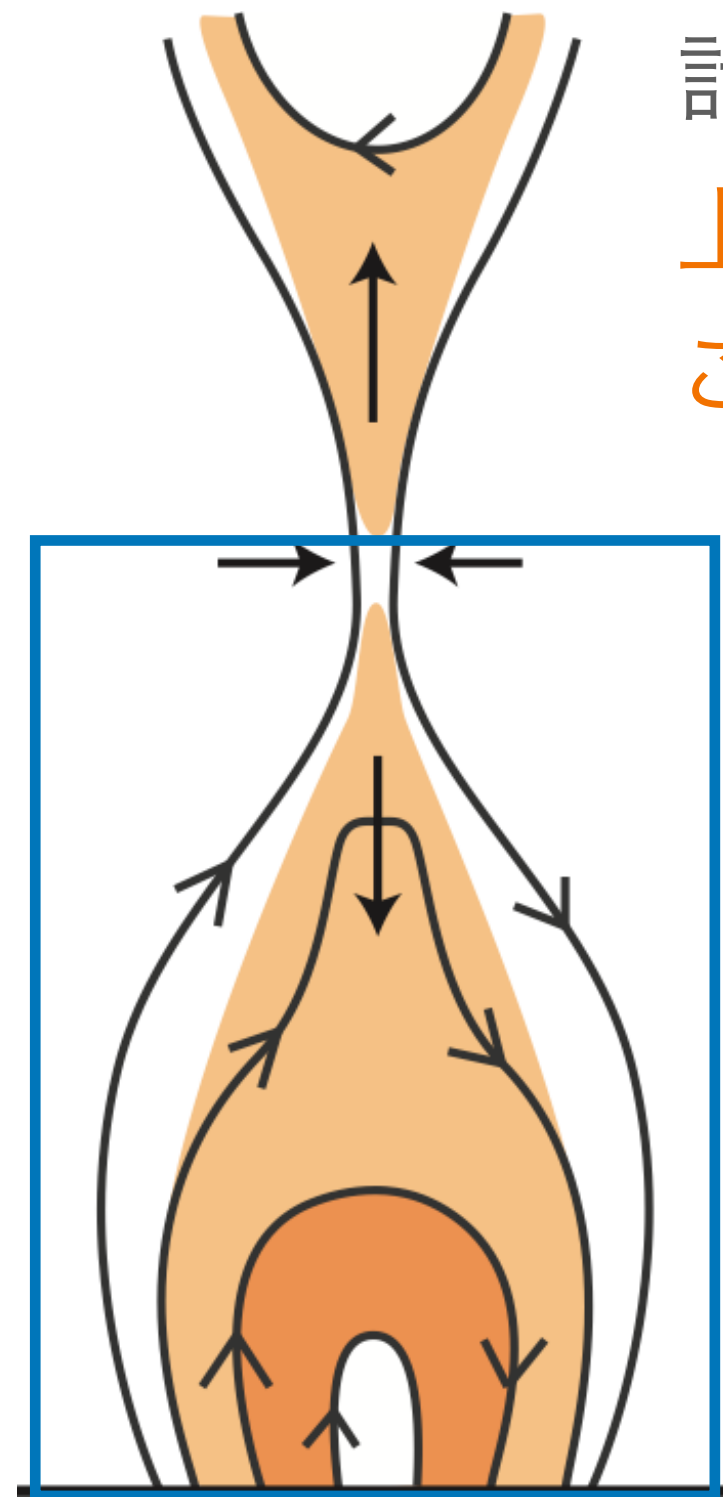


磁場ベクトルの時間変化



reconnection.cpp について

太陽フレアなどの爆発現象を駆動する磁気リコネクションという現象を扱うモデル。



計算量削減のため、
上下対称性を仮定し
この下側だけを計算する

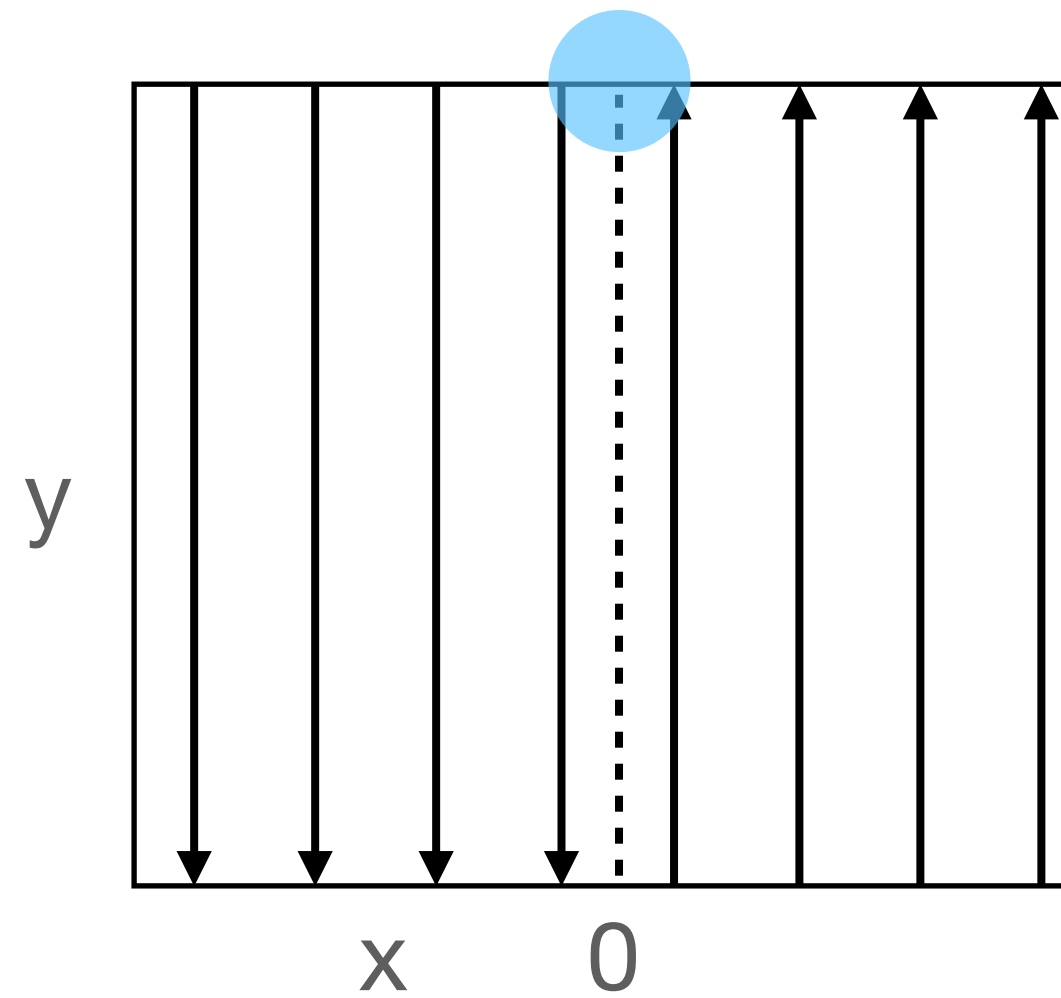
初期 & 境界条件

磁場

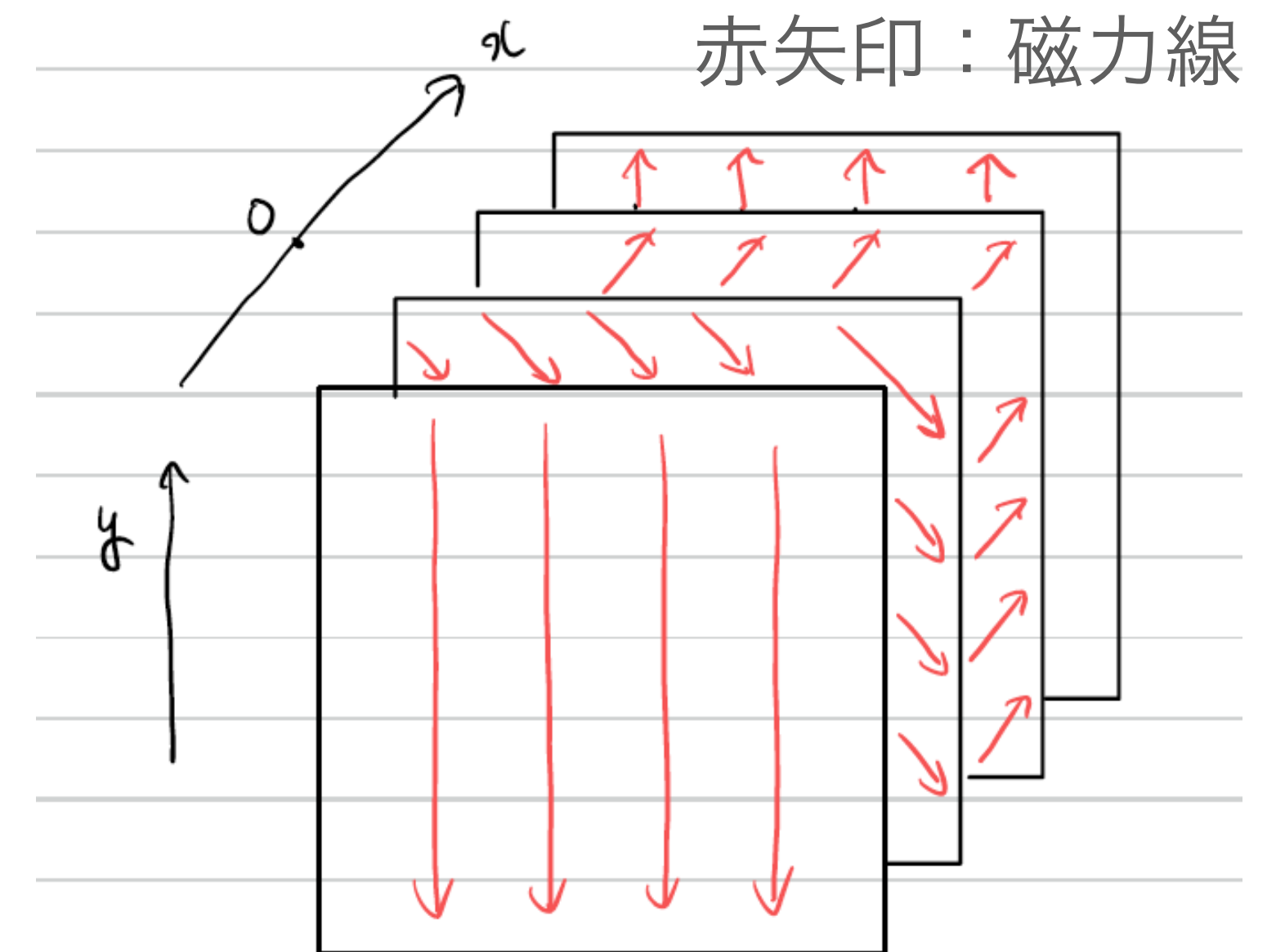
$$B_x(x, y) = 0,$$
$$B_y(x, y) = B_0 \tanh(x/w),$$
$$B_z(x, y) = B_0 / \cosh(x/w),$$

密度と圧力は空間的に一様

ここにだけ局在化した磁気拡散
(リコネクション場所を固定)



x方向: reflecting,
y方向: user定義の reflecting



磁気圧がどこでも一定になっている

reconnection.cpp の中身

```
43 void LocalizedDiffusivity(FieldDiffusion *pfdif, MeshBlock *pmb, const AthenaArray<Real> &w,  
44 |   const AthenaArray<Real> &bmag, const int is, const int ie, const int js,  
45 |   |   |   |   |   |   |   |   |   |   |   |   |   |   |   |   |   |   |   |   |   |  
46 |   |   |   |   |   |   |   |   |   |   |   |   |   |   |   |   |   |   |   |   |   |  
47 namespace {  
48 Real d0, beta0, eta0, w_eta;  
49 } // namespace  
50  
51 void Mesh::InitUserMeshData(ParameterInput *pin) {  
52     d0      = pin->GetReal("problem", "d0");  
53     beta0   = pin->GetReal("problem", "beta0");  
54     eta0    = pin->GetReal("problem", "eta0");  
55     w_eta   = pin->GetReal("problem", "w_eta");  
56  
57     EnrollUserBoundaryFunction(BoundaryFace::inner_x2, MyBoundaryInnerX2);  
58     EnrollUserBoundaryFunction(BoundaryFace::outer_x2, MyBoundaryOuterX2);  
59  
60     EnrollFieldDiffusivity(LocalizedDiffusivity); // User-defined diffusivity  
61     return;  
62 }
```

これがユーザ定義の
オーム散逸を計算する関数
(関数の宣言)

InitUserMeshData 内で
EnrollFieldDiffusivity を使い
Athena++ にユーザ定義関数
を渡す (必須)

注意：オーム散逸を使うように Athena++ に教えるには、input file の <problem> で
eta_ohm に non-zero の値を渡さなければいけない (実際に eta_ohm の値を使うかは別として)

reconnection.cpp の中身

```
135 void LocalizedDiffusivity(FieldDiffusion *pfdif, MeshBlock *pmb,
136     const AthenaArray<Real> &w,
137     const AthenaArray<Real> &bmag, const int is, const int ie, const int js,
138     const int je, const int ks, const int ke)
139 {
140     Coordinates *pcoord = pmb->pcoord;
141     Real h = pmb->pmy_mesh->mesh_size.x2max;
142     Real w_eta2_i = 1.0/SQR(w_eta);
143
144     for(int k=ks; k<=ke; k++) {
145         for(int j=js; j<=je; j++) {
146             Real y = pcoord->x2v(j);
147 #pragma omp simd
148             for(int i=is; i<=ie; i++){
149                 Real &etaB = pfdif->etaB(FieldDiffusion::DiffProcess::ohmic,k,j,i);
150                 Real x = pcoord->x1v(i);
151                 Real r2 = x*x + SQR(y-h);
152                 Real tmp = r2*w_eta2_i;
153                 etaB = eta0 * exp(-tmp);
154             }
155         }
156     }
157
158     return;
159 }
```

ユーザ定義の
オーム散逸を計算する関数の
具体的な中身の記述

オーム散逸の磁気拡散係数は
このように呼び出す

(詳細は src/field/field_diffusion/field_diffusion.hpp)

$$\eta = \eta_0 \exp\left(-[(x^2 + (y - h)^2)]/w_\eta^2\right)$$

という、広がりが w_eta の
ガウシアンにしている

目標

▶ 第一目標

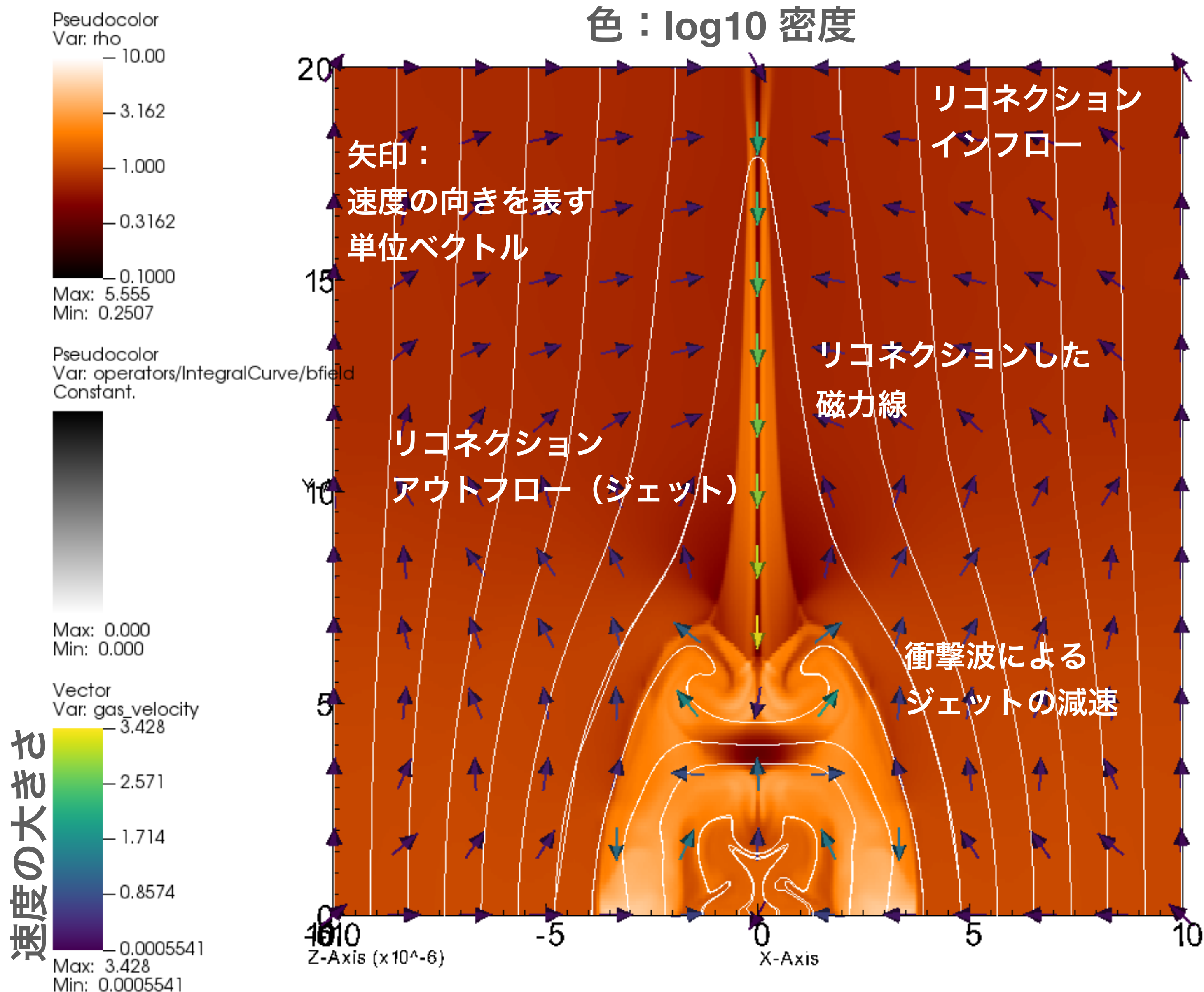
- ▶ xc50 で計算を流し、データを手元に持ってくる
- ▶ こんな感じの図を作って、磁力線やガスの流れ場の構造と背景の物理量（密度など）の関係をわかりやすく表示してみる

▶ 発展編

- ▶ 今回のモデルでは dt が磁気拡散によって制限されている（ログを見ると、dtが一定になっているのがわかる）。STSを使うとどの程度 dt が大きくなるか調べてみよう。
- ▶ history データを使い、磁気エネルギーの解放の結果として運動・熱エネルギーが増加していく時間変化の様子をグラフにしてみよう
- ▶ 今回のモデルでは境界条件を reflecting ではなくユーザ定義のものを利用している。こうしなければいけない理由を考えてみよう。

DB: recon.out2.00140.athdf.xdmf
Time: 14.0007

512 x 256 の結果



athinput.reconnection

```
<comment>
problem = reconnection
reference = Yokoyama and Shibata 2001, Takasao et al. 2015
configure = -b --prob=reconnection

<job>
problem_id = recon # problem ID: basename of output filenames

<output1>
file_type = hst # History data dump
dt = 0.01 # time increment between outputs

<output2>
file_type = hdf5 # hdf5
variable = prim # variables to be output
dt = 0.5 # time increment between outputs

<time>
cfl_number = 0.4 # The Courant, Friedrichs, & Lewy (CFL) Number
nlim = -1 # cycle limit
tlim = 15. # time limit
integrator = vl2 # time integration algorithm
xorder = 2 # order of spatial reconstruction
ncycle_out = 1 # interval for stdout summary info
```

<output2> の dt を 0.5 くらいにすると
ファイル数が 30 になって転送が楽

```
nx2 = 512 # Number of zones in X2-direction
x2min = 0. # minimum value of X2
x2max = 20. # maximum value of X2
ix2_bc = user # inner-X2 boundary flag
ox2_bc = user # outer-X2 boundary flag

nx3 = 1 # Number of zones in X3-direction
x3min = -0.5 # minimum value of X3
x3max = 0.5 # maximum value of X3
ix3_bc = periodic # inner-X3 boundary flag
ox3_bc = periodic # outer-X3 boundary flag

num_threads = 1 # maximum number of OMP threads

<meshblock>
nx1 = 64
nx2 = 64
nx3 = 1

<hydro>
iso_sound_speed = 1.0 # isothermal sound speed
gamma = 1.666666667 # gamma = C_p/C_v

<problem>
```

<meshblock> で $nx1=nx2=64$, $nx3=1$
とすると 64 の meshblock に領域分割
(64並列にすると、1 meshblock / 1コア)

Job script

2ノードを使って64並列計算をする場合の job script 例

```
#PBS -q R6755316
#PBS -l nodes=2
#PBS -l walltime=0:20:00
#PBS -N recon

cd ${PBS_O_WORKDIR}
aprun -n 64 -N 32 -S 16 ./athena -i athinput.reconnection -t 00:18:00 > log
```

あとは qsub コマンドでジョブ投入

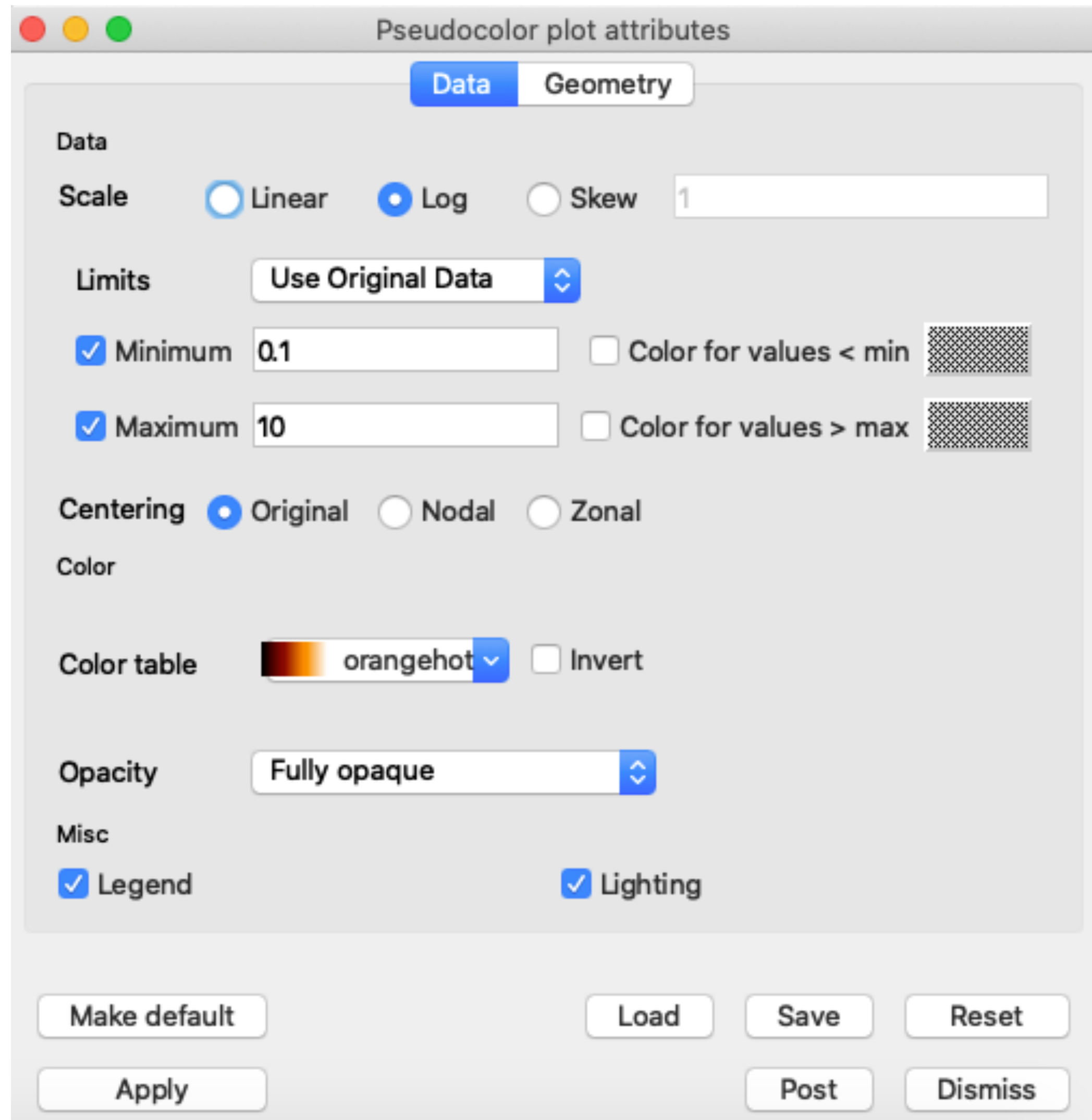
```
> qsub job_filename.job
```

この場合、XC50 だと 1 分弱で計算が終わります

注意

- ▶ Mac の人への注意点 (Windowsでも?)
 - ▶ Visit で磁力線を描くとき、一度 Bcc1, Bcc2, Bcc3 のどれかに対して Pseudocolor プロットして磁場データを読み込ませておかないと、エラーが出る
- ▶ 今回の visit を用いた磁力線の描き方だと、実は磁力線の時間変化を正しく追えないことに注意。各時刻の磁力線は同一ではない。

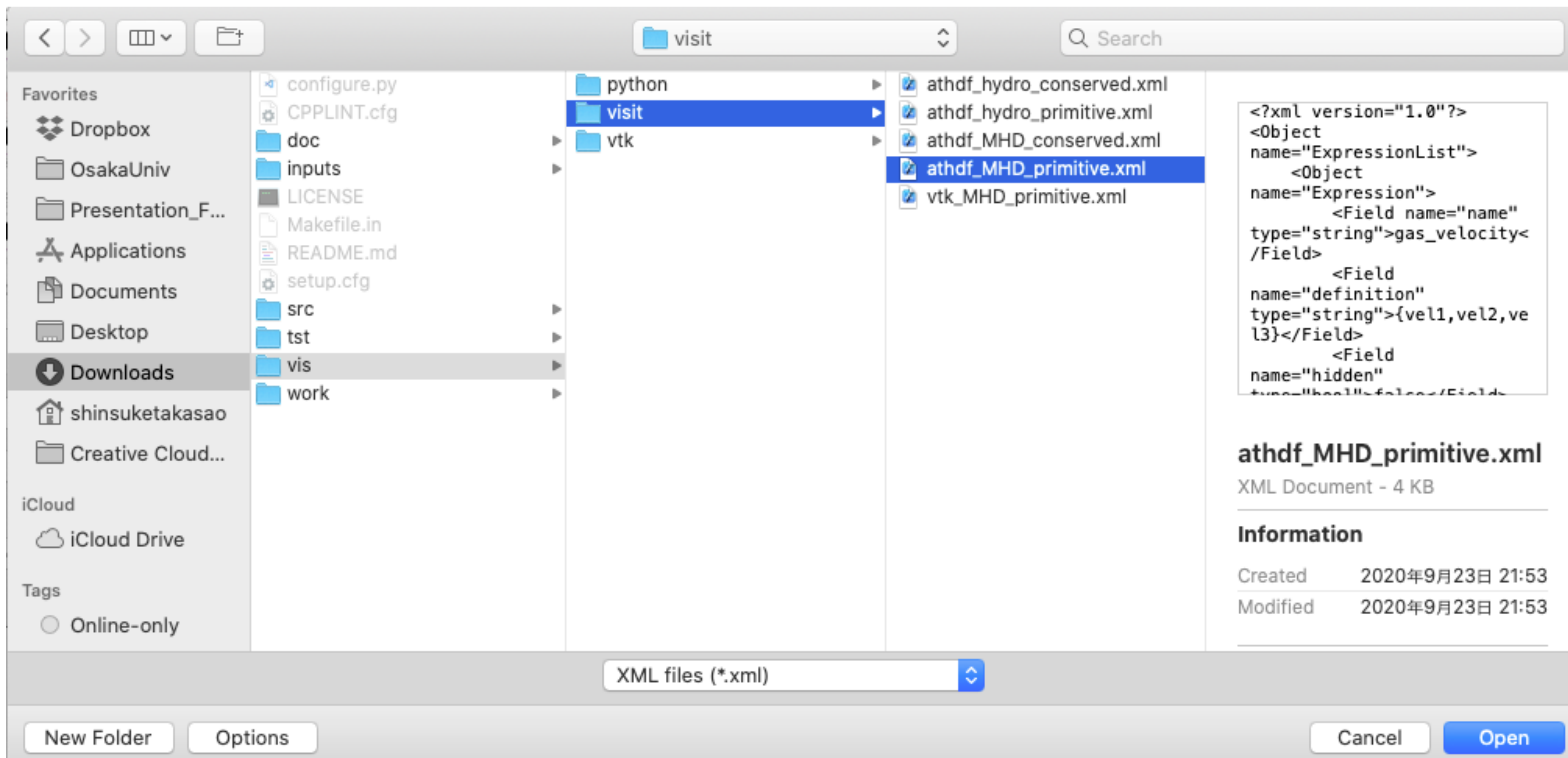
密度の表示：Pseudocolor



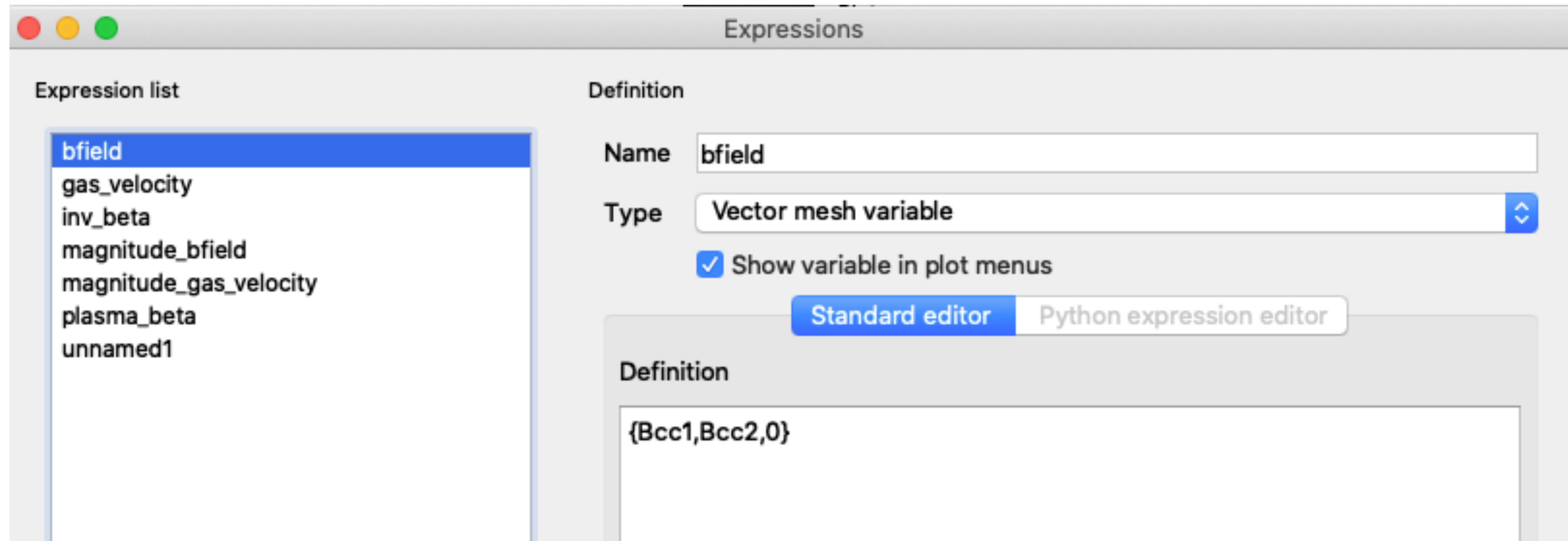
rho を可視化

ユーザ定義の変数の準備

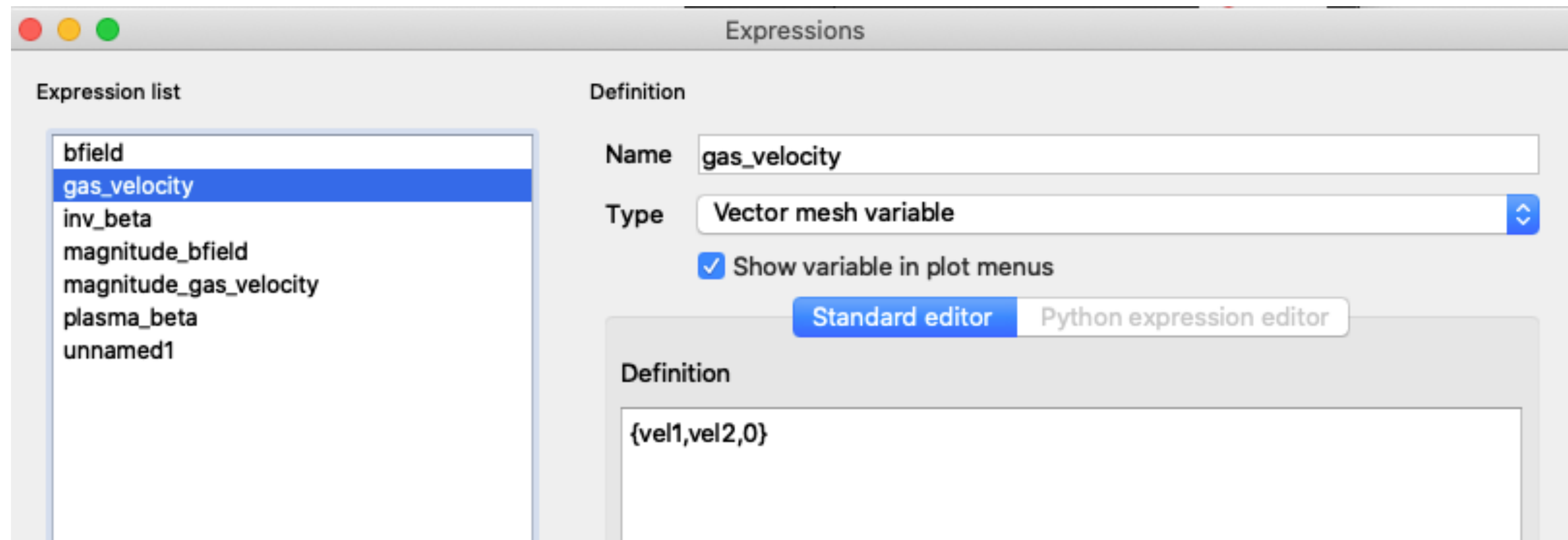
visit の Controls -> Expressions -> load で Athena/vis/visit の中にある .xmlファイルを読み込むと変数定義がラク



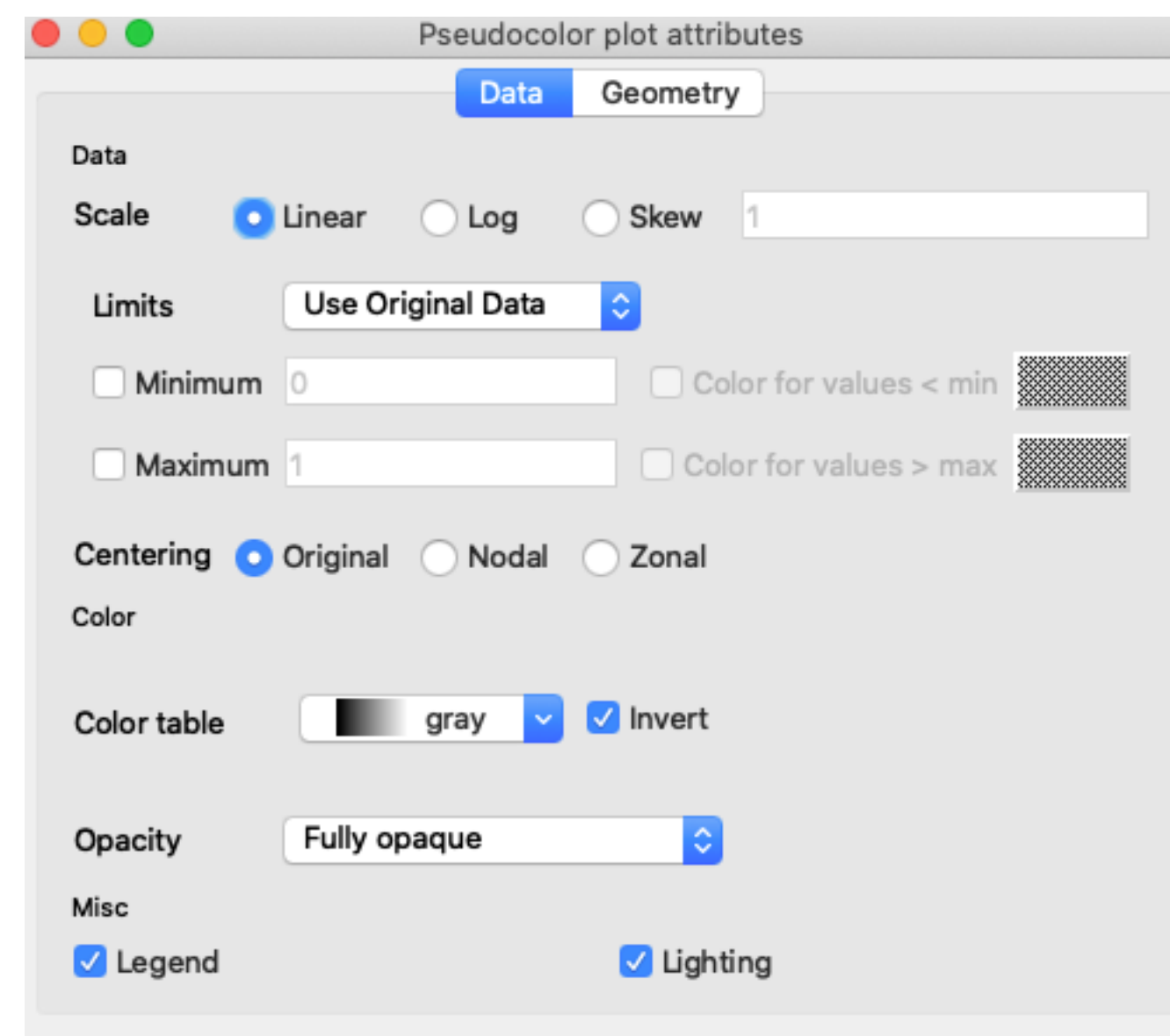
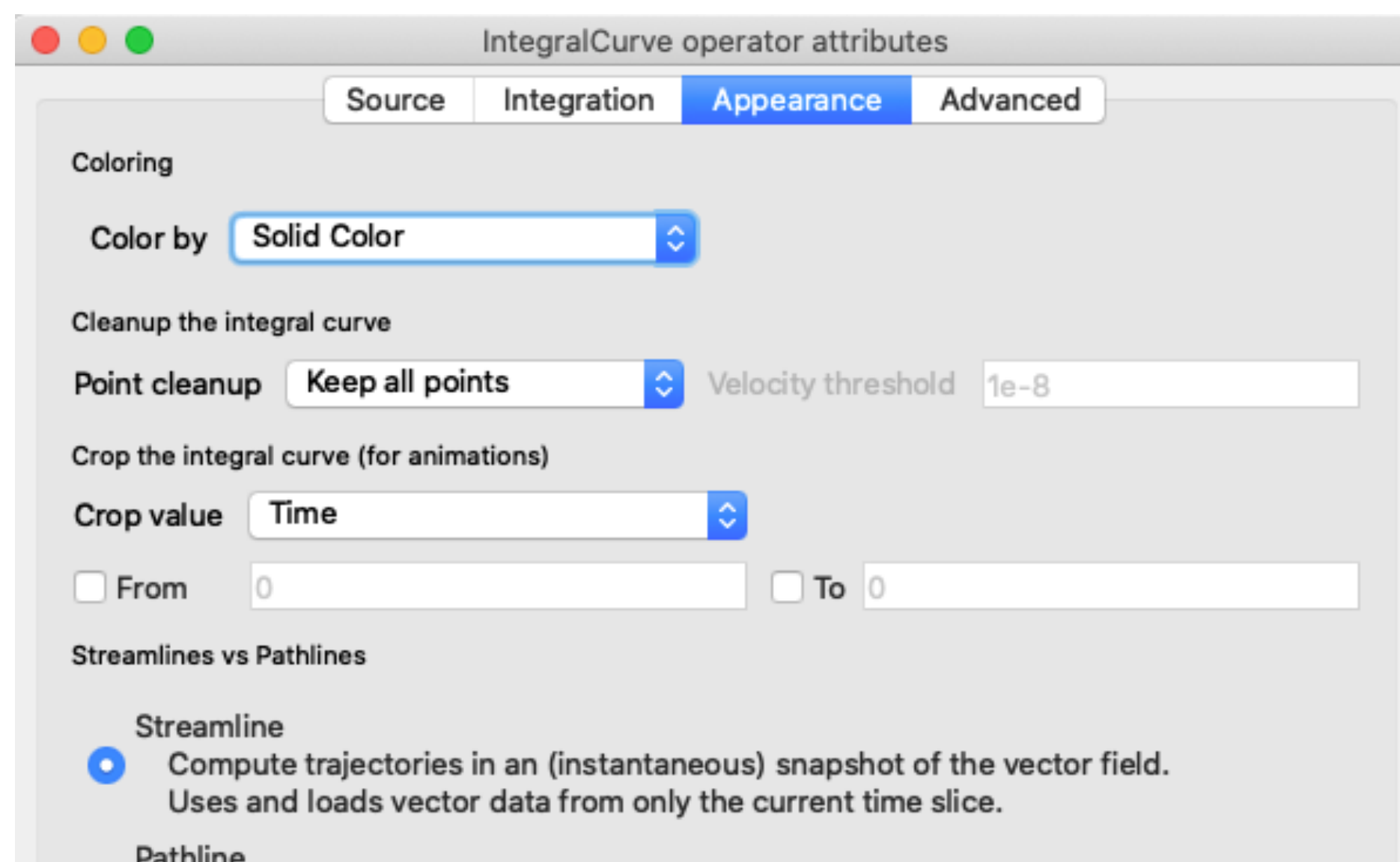
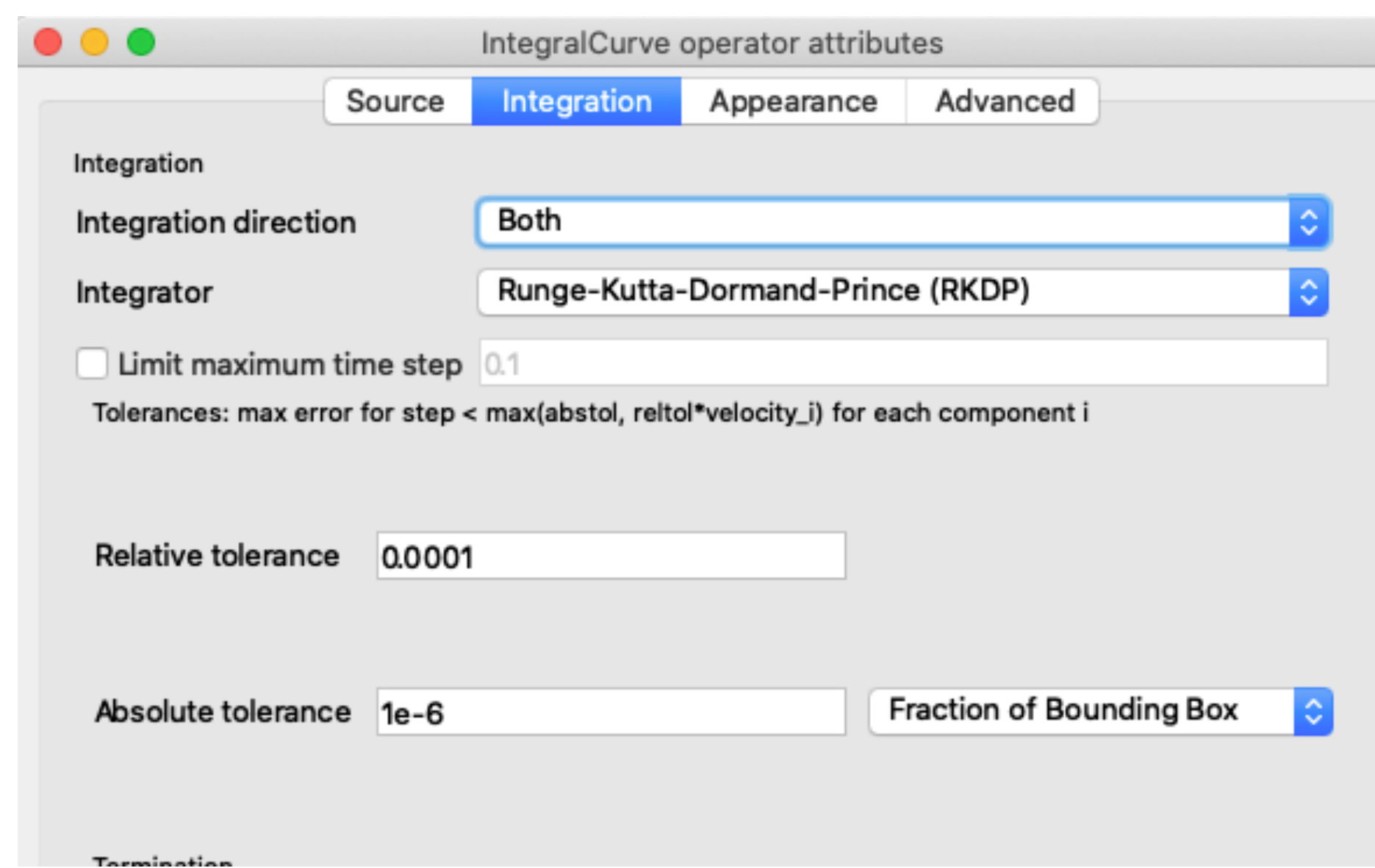
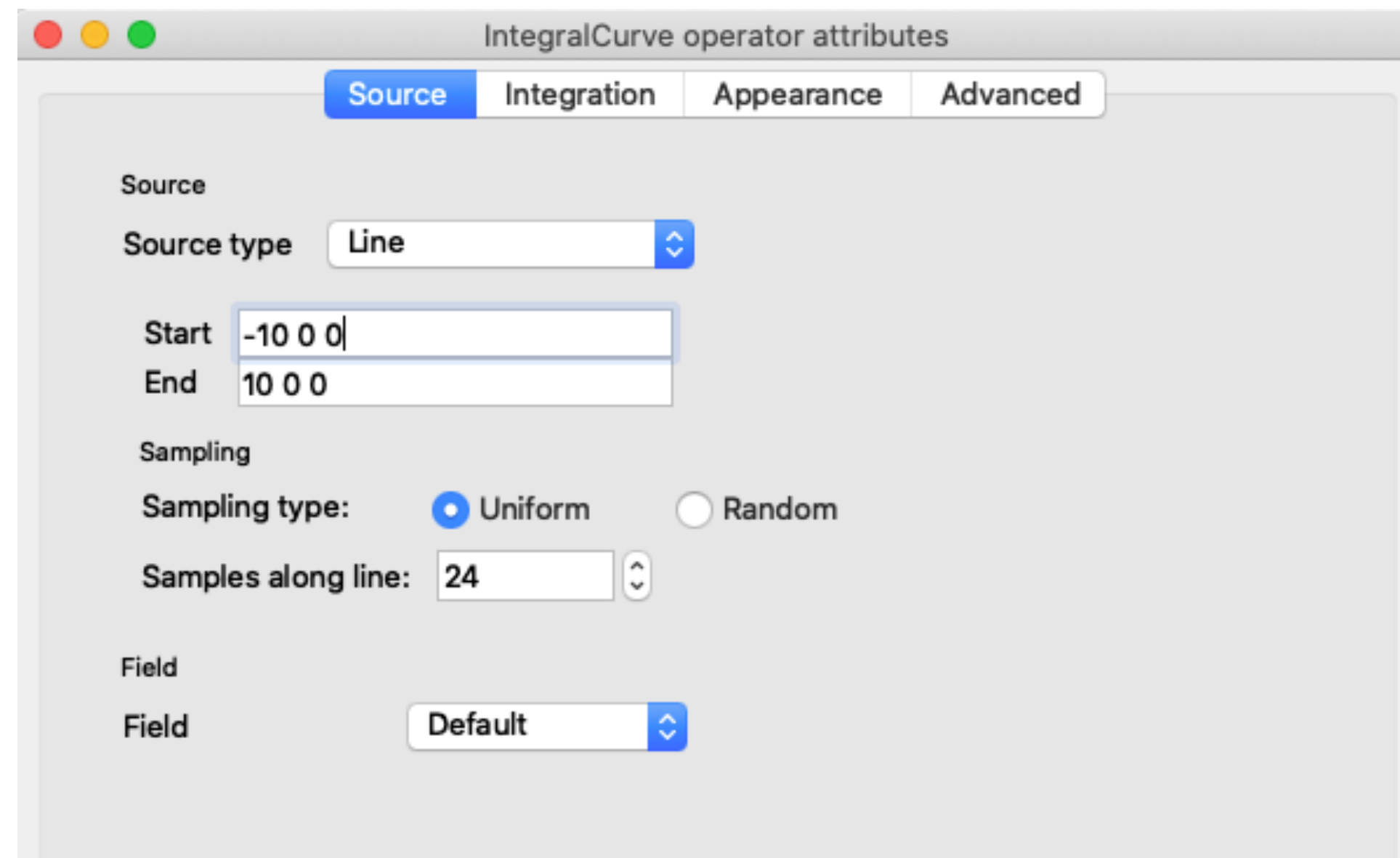
Expression での磁場・速度ベクトルの設定



- Type は Vector
- x, y 成分にだけベクトル成分を与え、z成分は 0 にしておくこと
(今2次元面でのベクトル成分だけ使いたいのので。こうしないと磁力線の計算で失敗する)

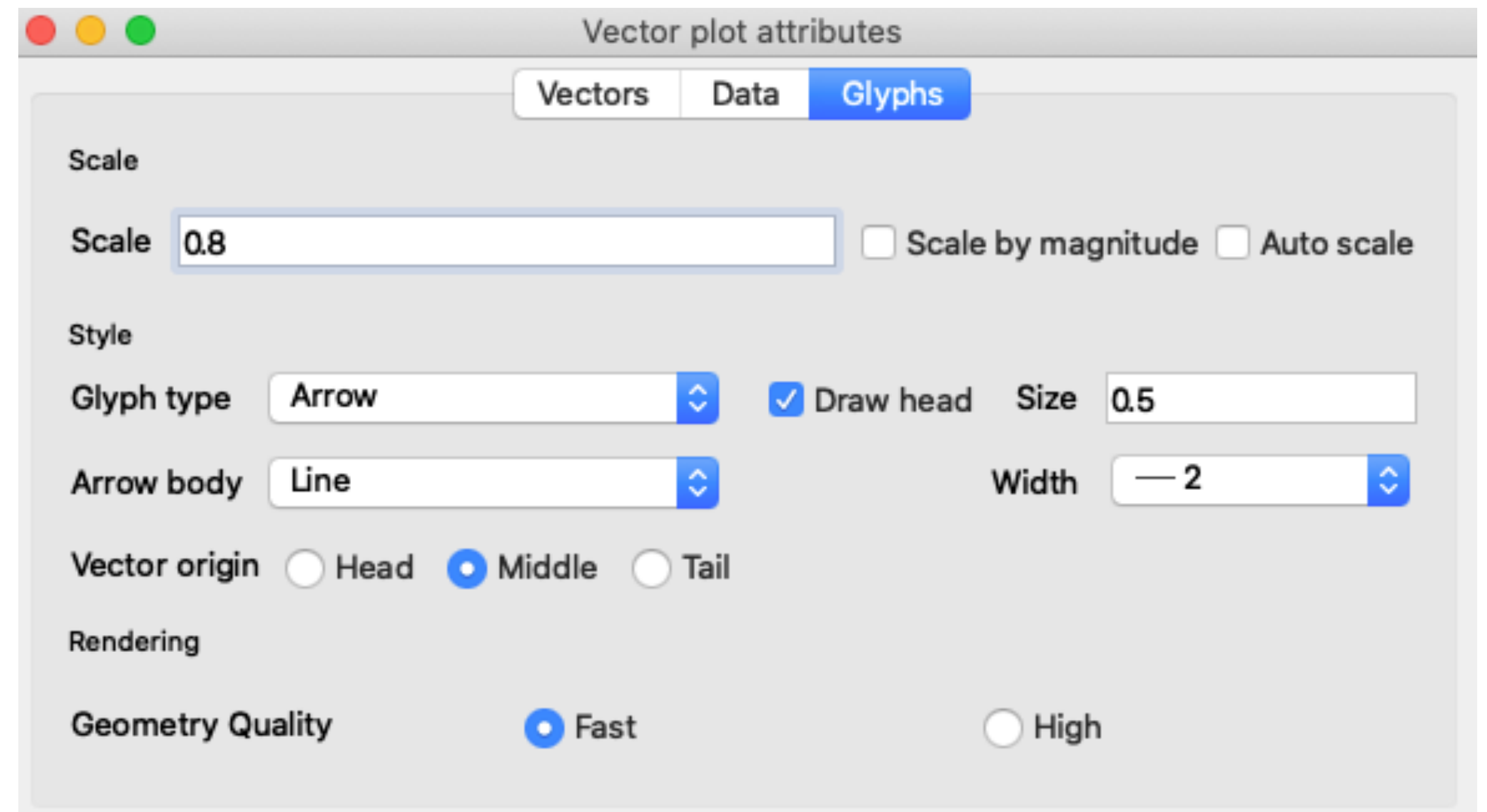
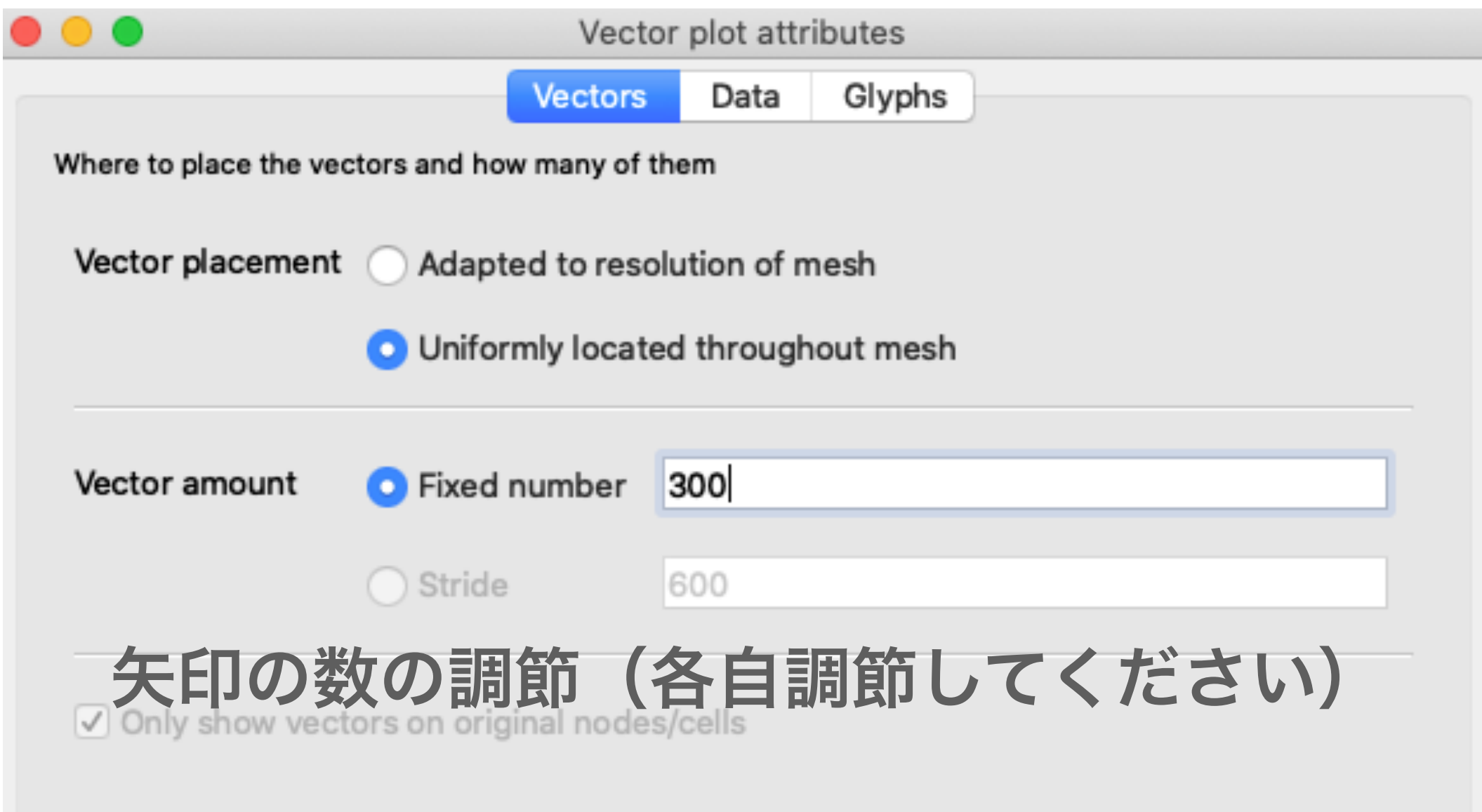


磁力線の可視化：IntegralCurve の設定



IntegralCurve の
Pseudocolor にて
磁力線の色を白にする
設定

速度ベクトルの可視化：Vector の設定



矢印の大きさ (Scale) や、矢印の頭の大きさ (head size)、太さ (Width) の設定各自調節してください

